

بررسی تغییرات مقاومت فشاری و تخلخل در هسته‌ی سازه‌های بتنی حجیم با مقاومت زیاد

محمود نبیلی^{*} (دانشیار)

امیرمسعود صالحی (کارشناس ارشد سازه)

دانشکده‌ی فنی و هندسی، دانشگاه پویا سینا، همدان

موضوع تحقیق حاضر، بررسی عمل آوری حرارتی (مدلی از عمل آوری مرکز ستون‌های حجیم) و عمل آوری استاندارد، و مقایسه‌ی تأثیر هریک از آن‌ها بر مقاومت نشاری اولیه و درازمدت، و حجم منافذ داخلی بتن‌های مختلف است. بدین‌منظور هشت طرح اختلاط با نسبت آب به سیمان ۳٪ ساخته شد. علاوه بر طرح شاهد، جایگزینی پوزولان طبیعی به مقدار ۱۵٪ و ۳۰٪، خاکستر بادی به میزان ۱۵٪ و ۲۵٪ و میکروسیلیس به میزان ۵٪ و ۸٪ و ۱۱٪ وزنی سیمان انجام شد. از هر طرح مخلوط بتن دو سری نمونه تهیه شده است: نمونه‌های استاندارد و نمونه‌های حرارتی. نمونه‌ها را پس از قالب‌گیری داخل محفظه‌ی پراز آب قرار داده و سپس تاریخچه‌ی دمای هیدراسیون بر آن‌ها اعمال می‌شود. مشاهده شد عمل آوری حرارتی تأثیر منفی بیشتری بر مقاومت فشاری درازمدت نمونه‌های حاوی میکروسیلیس دارد. اما جایگزینی انواع پوزولان‌ها (پوزولان طبیعی، خاکستر بادی و میکروسیلیس) در بتن، باعث کاهش میزان جذب آب در نمونه‌های عمل آوری شده در حرارت (نسبت به بتن شاهد) می‌شود.

nili36@yahoo.co.uk
ams_salehi@yahoo.com

واژگان کلیدی: بتن حجیم، حرارت هیدراسیون، پوزولان، مقاومت فشاری، جذب آب.

۱. مقدمه

بن‌های حجیم به عملت هیدراسیون (آب پوشی) سیمان، در سنین اولیه به منبع تولید حرارت تبدیل می‌شوند. افزایش دما در هسته و کم‌بودن ضریب انتقال حرارت بتن باعث می‌شود که عموماً بتن‌های حجیم در سنین اولیه تحت شرایطی کاملاً متفاوت با شرایط استاندارد قرار گیرند. محققین می‌کوشند تا روش‌هایی برای مدل‌سازی شرایط واقعی هسته‌ی بتن‌های حجیم بیابند، و مقاومت فشاری و سایر خواص بتن را در این شرایط ارزیابی کنند. این مسئله در بتن‌های پرمقاومت که مقدار سیمان مصرفی در آن‌ها زیاد است اهمیت بیشتری می‌یابد. زیرا در چنین شرایطی، دمای هسته‌ی بتن گاهی به ۶۰ درجه سلسیوس و بالاتر نیز خواهد رسید و در چنین شرایطی، از یک سو بتن با دمایی غیرمتعارف مواجه می‌شود و از سوی دیگر گردایان حرارتی بزرگی بین هسته و سطح بتن ایجاد خواهد شد.^[۱-۴]

اگرچه دمای زیاد در حین بتن ریزی منجر به افزایش مقاومت اولیه می‌شود، ممکن است تأثیر نامطلوبی بر مقاومت درازمدت داشته باشد. چرا که به نظر می‌رسد هیدراسیون سریع مراحل اولیه که به عملت دمای اولیه زیاد رخ می‌دهد، باعث تشکیل ژل نسبتی متراکمی در سطح دانه‌های سیمان می‌شود که در روند هیدراسیون مانع ورود رطوبت به بخش‌های داخلی دانه‌های سیمان می‌شود؛ در واقع محصول نهایی عامل مهم دیگر در کاهش خواص طولانی مدت بتن وقتی تحت دمای اولیه زیاد قرار گیرد، تأخیر در تشکیل سولفوآلومینات کلسیم (اترینگایت) است. خسارت ناشی از این پدیده معمولاً زمانی اتفاق می‌افتد که بتن در سنین اولیه در معرض دمای بیش از ۷۰ درجه سلسیوس قرار می‌گیرد.^[۵]

* نویسنده مسئول

تاریخ: دریافت ۱۲، ۱۳۸۸، ۷/۱، اصلاحیه ۲۱، ۱۳۸۹، ۹/۱۶

در بررسی حاضر سعی شده با کمک سیستم مدل‌سازی حرارتی -- که در آزمایشگاه تحقیقاتی بتن دانشگاه بعلی سینا طراحی شده است -- ضمن تولید رژیم حرارتی بتن‌های حجیم، روند کسب مقاومت و نیز جذب آب بتن‌های حاوی پوزولان و بدون پوزولان ارزیابی و با شرایط مراقبت نمونه‌ها (تحت شرایط استاندارد) مقایسه شود.

۲. طراحی آزمایش

۱.۲. مصالح مصرفی

۲.۱. طرح اختلاط

در این تحقیق هشت طرح اختلاط با نسبت آب به سیمان $0,5 \times 3^0$ ، شامل طرح شاهد و طرح جایگزینی پوزولان طبیعی، خاکستر بادی و میکروسیلیس با مقادیر مشخص (برحسب درصدی از وزن سیمان) ساخته شده است. در تمامی طرح‌ها مقدار فوق روان‌کنندهٔ مورد استفاده یکسان و برابر 6% درصد وزنی سیمان است. بلاعده بعد از فرینند ساخت و اختلاط بتن، آزمایش اسلامپ طبق استاندارد ASTMC ۱۴۳ انجام شد. جزئیات طرح اختلاط و نسبت‌های مواد و مصالح به کار رفته در ساخت بتن‌ها در جدول ۲ آمده است.

۳.۲. شرح دستگاه

هسته‌ی بتن‌های حجیم تحت رژیم حرارتی ناشی از هیدراسیون سیمان قرار می‌گیرد. برای مدل‌سازی هسته و تهیهٔ نمونه‌هایی که تحت شرایط حرارتی هسته‌ی بتن حجیم عمل آوری شده باشند، از سیستم عمل آوری حرارتی بتن (TMCS)^۱ استفاده شده است. این سیستم که در آزمایشگاه تحقیقاتی بتن و مواد سازه‌ی دانشگاه بعلی سینا طراحی و اجرا شده، قادر است رژیم حرارتی تولید شده ناشی از حرارت هیدراسیون نمونه‌ی بتنی را در شرایط نیمه‌آدیاباتیک و با فاصله‌ی زمانی ۱ دقیقه به یک دستگاه ثبات مدل X CR $10\times$ انتقال داده و پس از پردازش در حافظه‌ی رایانه ثبت کند. از سوی دیگر رژیم حرارتی مذکور به TMCS اعمال می‌شود تا بدین وسیله نمونه‌های نگهداری شده در محفظه تحت رژیم حرارتی معادل هسته‌ی بتن حجیم قرار گیرد. جزئیات این روند با ذکر تجهیزات مورد استفاده، در شکل ۱ نشان داده شده است.

۴.۱. نحوهٔ تهیه و عمل آوری نمونه‌ها و آزمایش مقاومت فشاری

پس از ساخت هر سری بتن، یک نمونهٔ استوانه‌ی 15×30 سانتی‌متری (در قالب مخصوص فلزی) مطابق استاندارد تهیه و درون محفظه‌ی نیمه‌آدیاباتیک قرار داده می‌شود. این محفظه شامل یک مخزن ایزوله‌ی مناسب است که نمونهٔ بتن در آن قرار می‌گیرد. در این روش اجازه‌ی عبور مقدار کمی گرمای $h \cdot K / J$ از بدنهٔ عایق وجود دارد.

بیست و دو نمونهٔ مکعبی $100 \times 100 \times 100$ میلی‌متری در قالب‌های ویژه (عایق در مقابل نفوذ آب) تهیه و پس از تراکم مناسب توسط میز لرزان، به داخل محفظه‌ی TMCS منتقل شد. نمونه‌ها در سینین مقرر از محفظه خارج و پس از قالب‌برداری تحت آزمایش قرار می‌گیرند. بعد از ۵ روز -- که دمای نمونهٔ نیمه‌آدیاباتیک تقریباً به دمای محیط رسید -- تمامی نمونه‌ها از محفظه و قالب خارج، و در پلاستیک و در دمای محیط عمل آوری می‌شوند تا در سینین طولانی تحت آزمایش قرار گیرند.

همچنین ۱۵ نمونهٔ مکعبی در شرایط استاندارد فالبگیری می‌شوند. این نمونه‌ها به اتفاق با دمای 23 ± 2 و رطوبت 90% منتقل می‌شوند. پس از ۲۴ ساعت نمونه‌ها از قالب خارج و تا زمان انجام آزمایش در آب با دمای 20 ± 2 عمل آوری می‌شوند.

نمونه‌های عمل آوری شده در سینین $1,2,3,7,28$ و 91 روزه توسط جک هیدرولیکی ADR 2000 KN و با سرعت $3 \text{ کیلو نیوتون بر ثانیه}$ تحت آزمایش مقاومت فشاری قرار گرفته‌اند. در نهایت مقاومت فشاری بتن در سن مقرر از میانگین مقاومت فشاری دو نمونه به دست آمد.

آزمایش جذب آب مطابق دستورالعمل ۱۲۲ BS ۱۸۸۱-Part ۱۱^[۱] انجام شد. براین اساس، در سن 28 روز از هر طرح سه نمونهٔ استاندارد و دو نمونهٔ TMCS،

در این مطالعه از سیمان پرتوانه نوع ۲ (هگستان) با نرمی $g/cm^3 = 3570$ استفاده شده است. پوزولان طبیعی (پومیس قروه) که از گروه توف‌های آشفشانی بوده به صورت پودرشده مورد استفاده قرار گرفته است. دوده‌ی سیلیسی مصرفی، محصول کارخانه‌ی فروسریس ایران و خاکستر بادی آفریقای جنوبی (نوع F) نیز در این تحقیق مورد استفاده قرار گرفته است. مشخصات فیزیکی و ترکیبات شیمیایی مواد سیمانی مصرفی در جدول ۱ ارائه شده است.

در این تحقیق سمنگانه‌ها به صورت اشیاع با سطح خشک (SSD)^۱ مورد استفاده قرار گرفته‌اند. بیشینه‌اندازه‌ی شن مصرفی $19,5 \text{ mm}$ و در دو محدوده $4,75 \text{ mm}$ و $12,5 \text{ mm}$ می‌باشد. دانه‌های نیمه‌شکسته و آهکی با چگالی $2,6$ و ماسه‌ی مصرفی ترکیبی از ماسه‌ی طبیعی و ماسه‌ی آهکی با چگالی $2,67$ و مدول نرمی $2,91$ بوده است. همچنین برای رسیدن به کارایی مطلوب GLENIUM (110 M) استفاده شده است.

جدول ۱. مشخصات فیزیکی و شیمیایی مواد سیمانی مصرفی.

ترکیبات و مشخصات	سیمان	پوزولان طبیعی	خاکستر بادی	میکروسیلیس
SiO_2	$21,44$	$53,68$	$88,25$	$85-95$
Al_2O_3	$4,52$	$12,13$	-	$0,5-1,7$
Fe_2O_3	$3,69$	$7,04$	-	$0,4-2$
CaO	$63,54$	$9,43$	$4-10$	-
MgO	$1,48$	$9,02$	$1-2,5$	-
SO_3	$2,26$	$2,02$	-	-
Na_2O	$0,52$	-	-	$0,25$
K_2O	$0,72$	$3,05$	-	$0,15-1$
$^1 \text{LOI} (\%)$	-	$0,48$	$1,28$	-
$^2 \text{SS} (\text{cm}^2/\text{g})$	3570	4500	-	14000
$^3 \text{SG} (\text{g}/\text{cm}^3)$	$3,1$	$2,91$	$2,43$	$2,21$

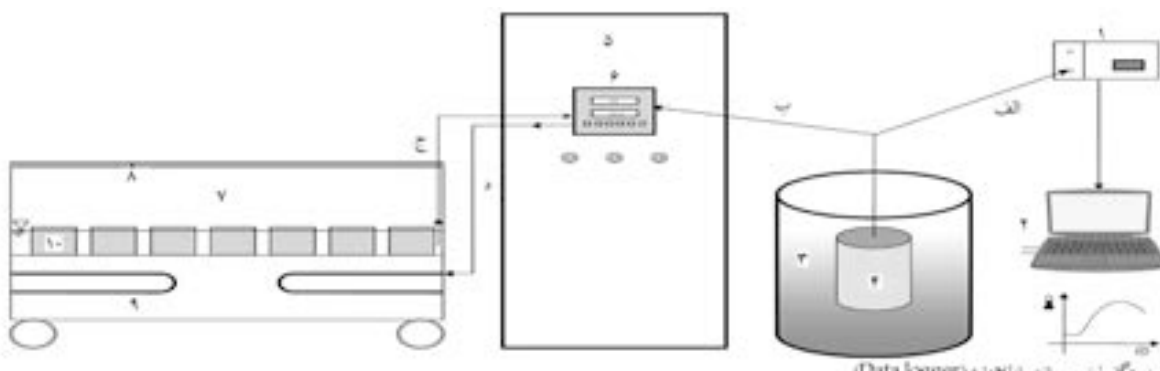
^۱. افت سخت شدن: (LOI).

^۲. سطح مخصوص: (SS).

^۳. چگالی نسبی: (SG).

جدول ۲. مقادیر طرح اختلاط بتن (وزن مصالح سنگی در حالت اشباع با سطح خشک است).

اسلامب (cm)	فوق روان‌کننده (%)	شن (SSD)	ماسه (SSD)	میکروسیلیس	خاکستر بادی kg/cm³	پوزولان طبیعی	سیمان	آب	نسبت آب به مواد سیمانی	بتن
۱۵	۰,۶	۸۲۹	۸۶۵	-	-	-	۵۴۰	۱۶۴,۷	۰,۳	۸۰
۲۱	۰,۶	۸۲۸	۸۶۱	-	-	۸۱	۴۵۹	۱۶۴,۷	۰,۳	۸۰P۱۵
۲۲,۵	۰,۶	۸۲۵	۸۵۹	-	-	۱۶۲	۳۷۸	۱۶۴,۷	۰,۳	۸۰P۳۰
-	۰,۶	۸۲۰	۸۵۴	-	۸۱	-	۴۵۹	۱۶۴,۷	۰,۳	۸۰FA۱۵
-	۰,۶	۸۱۳	۸۴۷	-	۱۳۵	-	۴۰۵	۱۶۴,۷	۰,۳	۸۰FA۲۵
۱۰,۵	۰,۶	۸۲۵	۸۵۹	۲۷	-	-	۵۱۳	۱۶۴,۷	۰,۳	۸۰SF۵
۱۶,۵	۰,۶	۸۲۲	۸۵۶	۴۳,۲	-	-	۴۹۶,۸	۱۶۴,۷	۰,۳	۸۰SF۸
۱۲	۰,۶	۸۲۰	۸۵۳	۵۹,۴	-	-	۴۸۰,۶	۱۶۴,۷	۰,۳	۸۰SF۱۱



(۱) سنسگر، (۲) ذخیره‌سازی اطلاعات (Data logger)

(۳) رایانه، (۴) جهت نسبت اطلاعات

(۵) محفله نیمه آدیباپاتیک (Hay Box) که توسط مواد هایق ساخته شده

(۶) تعمیر پنی استواره بی (۱۵۰۳)

(۷) دلتا برق

(۸) سنسگر، کنترل کننده و مخصوص شرکت JUMO

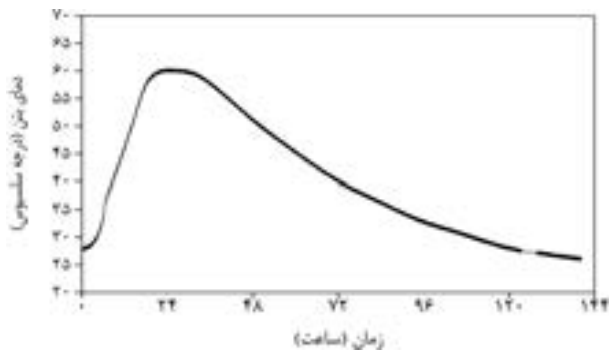
(۹) محفله بر از آب جهت نگهداری تعمیر های بی

(۱۰) درب شنیه بی

(۱۱) هیبر

(۱۲) تعمیر های بی (۱۰) علیحده در قالب های آب بندی شده

شکل ۱. محفظه‌ی طراحی شده برای اعمال شرایط رژیم دمایی به نمونه‌های بتنی (TMCS).



شکل ۲. منحنی تاریخچه‌ی دمای نیمه‌آدیباپاتیک بتن.

درون گرم خانه با دمای ۴۵ درجه سلسیوس به مدت ۱۴ روز خشک می‌شوند. پس از خروج نمونه‌ها از گرم‌خانه، چرم نمونه‌ها در وضعیت خشک توزین شده و سپس در ظرف آب قرار داده می‌شوند.

نمونه‌ها مدت ۱,۰,۵,۲,۱,۰,۲,۲,۴,۴,۸,۷۲,۷۲ ساعت درون آب باقی می‌مانند و سپس از آب خارج می‌شوند، و در وضعیت اشباع با سطح خشک توزین می‌شوند. این عمل به‌گونه‌یی انجام می‌شود که ارتفاع آب روی نمونه‌ها 25 ± 5 میلی‌متر باشد. نتایج جذب آب اندازه‌گیری شده برای هر نمونه به عنوان افزایش چرم نمونه برآور غرق شدن در آب و برحسب درصدی از وزن خشک نمونه ارائه می‌شود.

۵.۲. تاریخچه‌ی دمای اعمال شده بر نمونه‌های بتنی

چنان‌که اشاره شد هر نمونه تحت تاریخچه‌ی دمای نیمه‌آدیباپاتیک خود عمل آوری می‌شود. نمونه‌یی از تاریخچه‌ی دمایی اعمال شده (بتن ۸۰) در شکل ۲ ملاحظه می‌شود. مشخصات این منحنی برای تمامی بتن‌های ساخته شده -- شامل دمای اولیه، دمای بیشینه و زمان دمای بیشینه -- در جدول ۳ آورده شده است.

چنان‌که در جدول ۳ مشاهده می‌شود، در بتن شاهد بیشینه دمای ناشی از

هیدراسیون به ۶۱ درجه سلسیوس می‌رسد. با جایگزینی پوزولان طبیعی و خاکستر بادی به جای بخشی از سیمان دمای بیشینه به ترتیب ۵ و ۱۱ درجه سلسیوس کاهش یافته است. اما افزودن میکروسیلیس تغییر محسوسی در دمای بیشینه ایجاد نکرده است. همچنین مدت زمان تأخیری منحنی نیمه‌آدیباپاتیک تمامی بتن‌ها بیش از ۶ ساعت، و سرعت صعود و نزول آن بین ۱ تا ۲ درجه سلسیوس در هر ساعت است.

جدول ۳. مشخصات تاریخچه‌ی دمای نیمه‌آبیاباتیک.

بتن	دمای اولیه (درجہ سلسیوس)	بیشینه‌ی دما (درجہ سلسیوس)	زمان وقوع بیشینه‌ی دما (ساعت)
۸۰	۲۷,۵	۶۱	۲۳
۸۰P۱۵	۲۷,۵	۵۶	۲۹,۲۵
۸۰P۳۰	۲۷,۵	۵۰	۲۹,۵
۸۰FA۱۵	۲۷	۵۶	۳۵,۷۵
۸۰FA۲۵	۲۶,۵	۴۹,۵	۴۳
۸۰SF۵	۲۷	۵۹	۲۸,۵
۸۰SF۸	۲۶,۵	۶۰	۲۸
۸۰SF۱۱	۲۸	۶۰	۲۴,۷۵

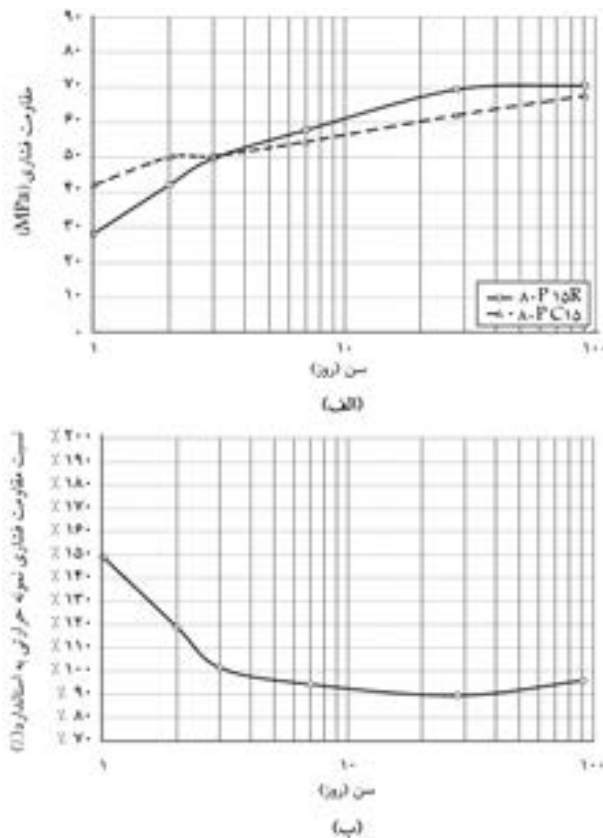
شده است. در شکل ۳ الف نمودار توسعه‌ی مقاومت فشاری در دو شرایط استاندارد (R) و عمل آوری تحت رژیم هیدراسیون (C) ارائه شده است.

در شکل ۳ ب، نموداری برای تشخیص بهتر اختلاف مقاومت در دو شرایط عمل آوری، نسبت مقاومت بتن در شرایط عمل آوری حرارتی به استاندارد نشان داده شده است. چنان که مشاهده می‌شود نمونه‌های C که مدلی از هسته مقطع بتن حجیم است، در سینه اولیه مقاومت زیادتری نسبت به نمونه‌های استاندارد (R) دارند. اما بین سن ۲ تا ۳ روز روند کسب مقاومت نمونه‌های استاندارد سریع‌تر است و بعد از ۳ روز مقاومت بیشتری نسبت به نمونه‌های کسب کردند.

نسبت مقاومت نمونه‌های C به R در روز اول حدود ۱/۲۵ است. این نسبت با افزایش سن بتن کاهش یافته و در سینه ۳ و ۷ و ۲۸ روز به ترتیب به ۱,۱۴، ۰,۹۶ و ۰,۹۶ می‌رسد. ملاحظه می‌شود که بعد از ۷ روز، روند کسب مقاومت نمونه‌های هسته افزایش یافته و باعث کاهش اختلاف مقاومت در دو شرایط عمل آوری می‌شود. در طولانی مدت (۹۱ روز) نسبت فوق به حدود ۰,۹۸ می‌رسد.

۲.۱.۳. مقاومت فشاری بتن‌های حاوی پوزولان طبیعی

در بتن حاوی ۱۵٪ پوزولان طبیعی در سن ۱ روز، کسب مقاومت نمونه‌های هسته حدود ۱/۵ برابر بیشتر از نمونه‌های استاندارد است. اما روند سریع کسب مقاومت نمونه‌های استاندارد باعث کاهش اختلاف مقاومتی شده و در سن ۳ روز مقاومت نمونه‌ها برابر می‌شود (شکل ۴).

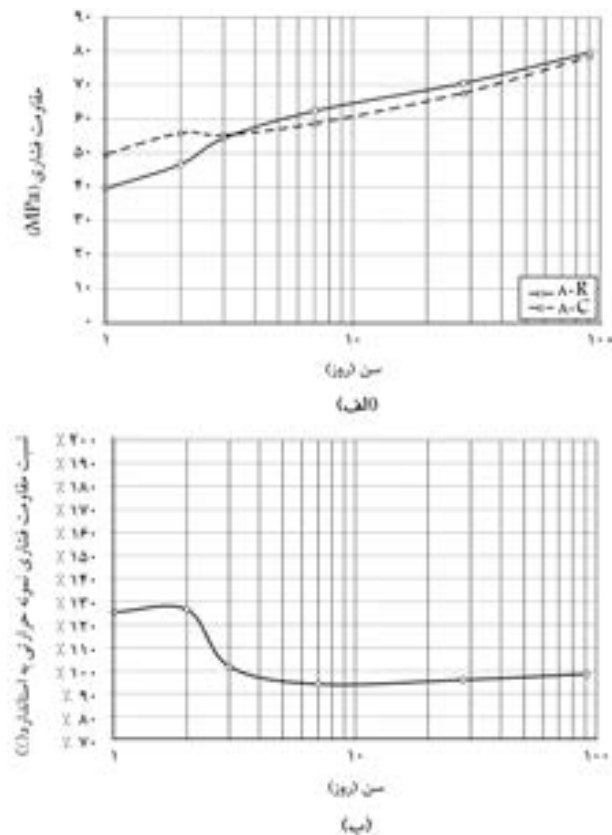


شکل ۴. روند کسب مقاومت فشاری بتن ۸۰P۱۵ در شرایط استاندارد (R) و تحت رژیم هیدراسیون (C).

مقاومت فشاری نمونه‌هایی که در دو شرایط عمل آوری حرارتی (C) و استاندارد (R) مراقبت شده‌اند، در سینه مقرر تعیین، و نتایج در جدول ۴ آورده شده است.

۱.۱.۳. مقاومت فشاری بتن بدون افزودنی معدنی

در شکل ۳ نتایج مقاومت فشاری نمونه‌ی بتن ۸۰ در دو نمودار مجرزا نشان داده

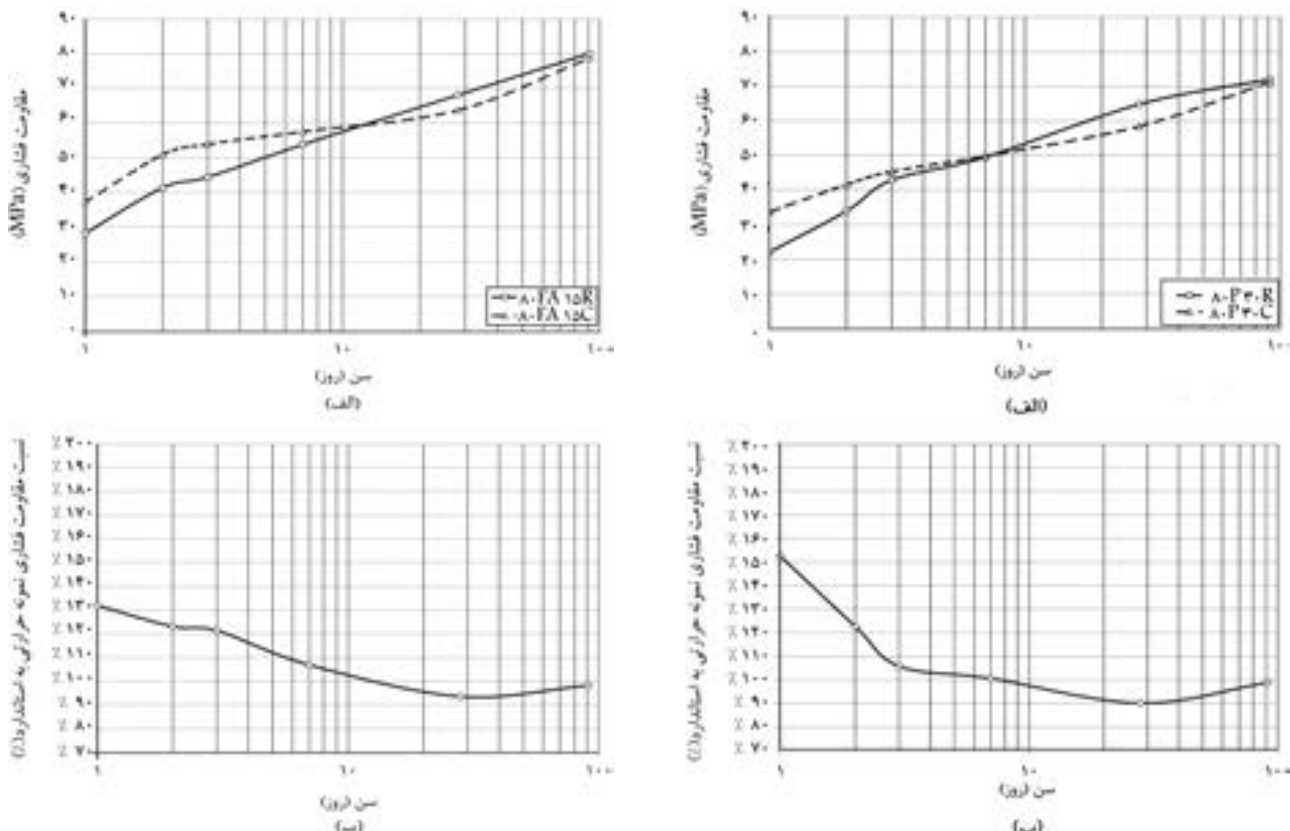


شکل ۴. روند کسب مقاومت فشاری بتن ۸۰ در شرایط استاندارد (R) و تحت رژیم هیدراسیون (C).

با توجه به نتایج بدست آمده، جایگزینی پوزولان طبیعی باعث کاهش بیشتر مقاومت نمونه‌های هسته در ۲۸ روز (نسبت به نتایج بتن شاهد) می‌شود. اما در سن ۹۱ روز، مقاومت در دو شرایط عمل‌آوری بسیار به هم نزدیک می‌شود.

۳.۱.۳. مقاومت فشاری بتن‌های حاوی خاکستر بادی
در بتن حاوی ۱۵٪ خاکستر بادی، نسبت مقاومت نمونه‌های هسته به استاندارد در سالین ۱، ۲۸ و ۹۱ روز برابر ۱,۳۲، ۰,۹۳ و ۰,۹۸ است (شکل ۶). نکته‌ی

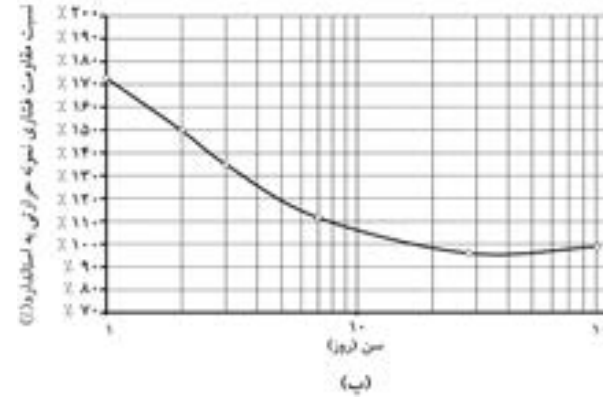
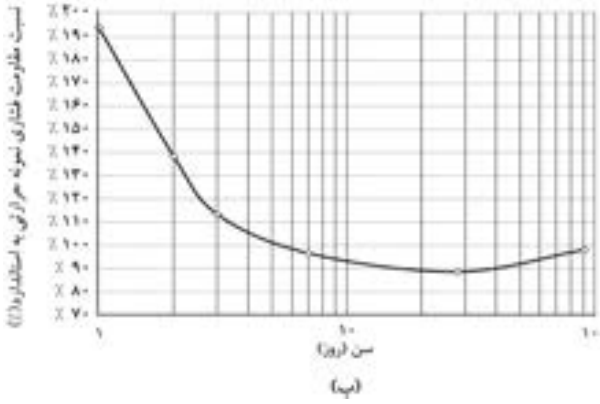
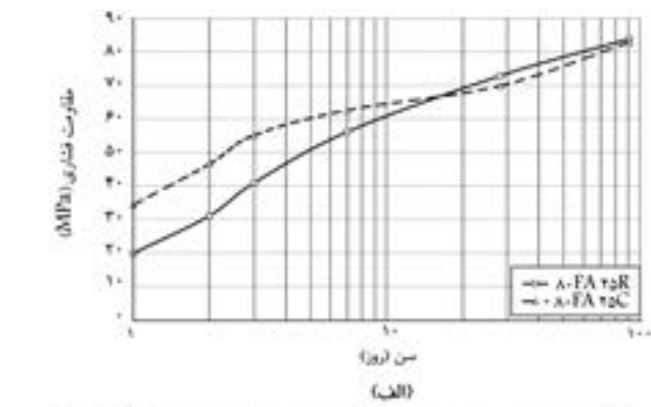
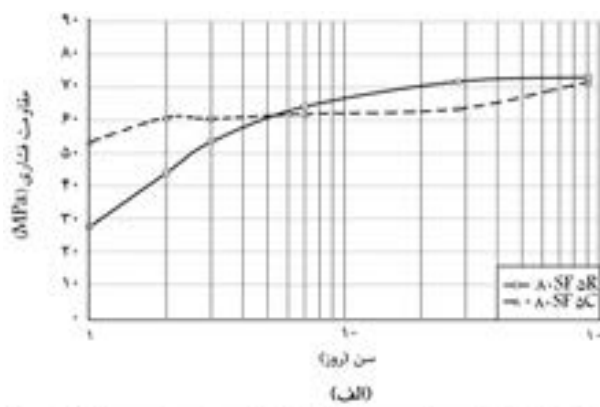
این روند تا ۲۸ روز تداوم دارد و باعث اختلاف مقاومتی حدود ۱۰٪ می‌شود. اما بعد از ۲۸ روز، روند کسب مقاومت نمونه‌های هسته نسبت به نمونه‌های استاندارد بیشتر است و باعث کاهش اختلاف مقاومت به حدود ۴٪ می‌شود. نتایج حاصله برای بتن حاوی ۳۰٪ پوزولان طبیعی، حکایت از روندی تقریباً یکسان با بتن‌های قبلي دارد. این روند شامل کسب مقاومت زیاد نمونه‌های هسته در سالین اولیه و بالعکس، و افزایش مقاومت نمونه‌های استاندارد در درازمدت است (شکل ۵).



شکل ۵. روند کسب مقاومت فشاری بتن ۳۰ P^{۳۰} در شرایط استاندارد (R) و تحت رژیم هیدراسیون (C).

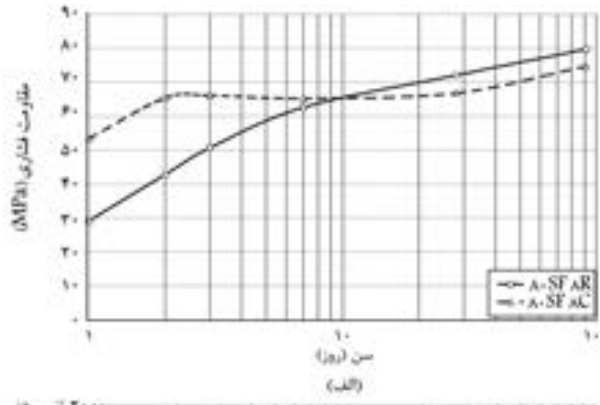
جدول ۴. نتایج مقاومت فشاری نمونه‌ها در شرایط استاندارد (R) و تحت رژیم هیدراسیون (C).

مقاومت فشاری (مگاپاسگال)												بتن	
روز ۹۱		روز ۲۸		روز ۷		روز ۳		روز ۲		روز ۱			
C	R	C	R	C	R	C	R	C	R	C	R		
۷۸,۴۲	۷۹,۶۱	۶۷,۷۷	۷۰,۶۱	۵۸,۷۳	۶۲,۴۲	۵۵,۳۳	۵۴,۳۶	۵۵,۹۱	۴۴,۲۱	۴۹,۶۸	۳۹,۶۱	۸۰	
۶۷,۶۲	۷۰,۵۴	۶۲,۰۵	۶۹,۳۶	۵۴,۴۷	۵۷,۷۷	۵۰,۴۱	۴۹,۷۰	۵۰,۰۸	۴۲,۱۰	۴۲,۱۳	۲۸,۲۳	۸۰P۱۵	
۷۱,۱۹	۷۲,۰۵	۵۸,۴۴	۶۴,۷۸	۴۹,۸۴	۴۹,۵۳	۴۵,۳۳	۴۲,۸۵	۴۱,۶۰	۳۳,۹۳	۳۲,۶۸	۲۲,۱۱	۸۰P۲۰	
۷۸,۶۶	۸۰,۰۵	۶۳,۶۹	۶۸,۰۲	۵۷,۵۰	۵۳,۷۷	۵۳,۹۱	۴۴,۴۲	۵۰,۸۸	۴۱,۳۳	۳۷,۱۸	۲۸,۱۸	۸۰FA۱۵	
۸۲,۸۸	۸۳,۹۲	۶۹,۸۶	۷۲,۸۱	۶۲,۶۱	۵۶,۱۳	۵۵,۱۵	۴۰,۸۹	۴۶,۵۵	۳۱,۰۹	۳۴,۲۹	۱۹,۸۵	۸۰FA۲۵	
۷۱,۵۸	۷۳,۰۲	۶۳,۴۳	۷۱,۶۷	۶۱,۸۲	۶۴,۰۵	۶۰,۴۶	۵۳,۳۲	۶۰,۷۹	۴۳,۹۰	۵۳,۳۷	۲۷,۵۲	۸۰SF۵	
۷۴,۷۰	۷۹,۷۱	۶۶,۷۹	۷۲,۰۵	۶۵,۲۱	۶۲,۵۶	۶۶,۱۱	۵۰,۶۵	۶۵,۳۸	۴۲,۷۹	۵۳,۳۹	۲۹,۱۴	۸۰SF۸	
۷۶,۸۸	۸۴,۹۰	۶۷,۹۳	۷۷,۹۴	۶۸,۸۱	۶۶,۰۱	۶۸,۴۲	۵۳,۱۱	۶۵,۰۲	۴۳,۴۸	۵۸,۵۶	۳۰,۸۱	۸۰SF۱۱	



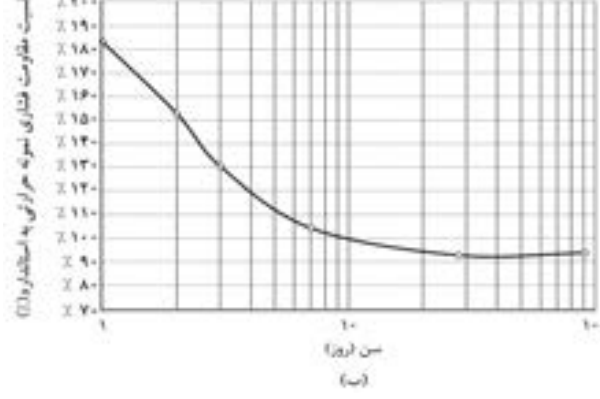
شکل ۸. روند کسب مقاومت فشاری بتن ۸۰ SF۵ در شرایط استاندارد (R) و تحت رژیم هیدراسیون (C).

شکل ۷. روند کسب مقاومت فشاری بتن ۸۰ FA۲۵ در شرایط استاندارد (R) و تحت رژیم هیدراسیون (C).



جالب در این بتن، مقاومت بیشتر نمونه‌های هسته نسبت به استاندارد، حتی بعد از ۷ روز است. این مسئله نشان‌گر تأثیرپذیری زیاد بتن حاوی خاکستر با دی از عمل آوری حرارتی است. این در حالی است که نتایج مقاومت در درازمدت تقریباً مشابه بتن‌های قبلی است.

با افزایش مقدار جایگزینی خاکستر با دی از ۱۵ به ۲۵ درصد، نسبت مقاومت در سینه ۱، ۲۸ و ۹۱ روز افزایش و برایر ۱، ۲۷، ۵۰، ۹۶ و ۹۹ می‌شود (شکل ۷). نشان که مشاهده می‌شود عمل آوری حرارتی در نمونه‌های حاوی خاکستر با دی باعث بهبود مقاومت در کوتاه‌مدت شده، و در طولانی‌مدت نیز تأثیری منفی بر مقاومت نداشته است. بدین ترتیب نتایج حاصله نشان می‌دهد که مصرف پوزولان طبیعی و خاکستر با دی در بتن‌های حجیم نه تنها از دیدگاه زیست محیطی و اقتصادی بهینه است، بلکه در کاهش ریسک ترک خوردگی در مقاطع حجیم نیز مؤثرند. نتایج این بخش از تحقیق حاکی از این است که آزادشدن حرارت ناشی از هیدراسیون سیمان در مقاطع حجیم بتنی نه تنها عاملی منفی محسوب نخواهد شد، بلکه باعث بهبود هیدراسیون پوزولان‌ها می‌شود.



۴.۱.۳ مقاومت فشاری بتن‌های حاوی میکروسیلیس

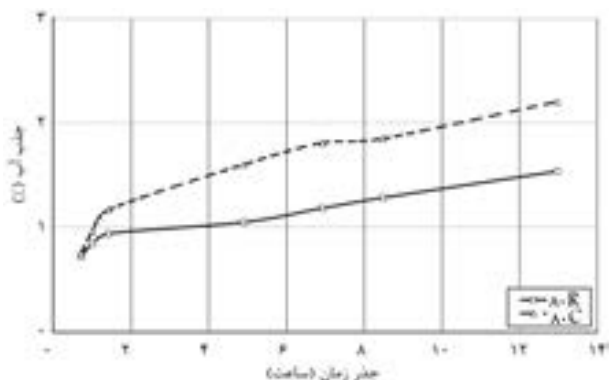
نتایج مقاومت فشاری یک‌روزه‌ی نمونه‌های حاوی میکروسیلیس نشان می‌دهد که مقاومت نمونه‌های عمل آوری شده در حرارت، از ۱/۸۳ تا حدود ۱/۹۳ برابر نمونه‌های استاندارد است. اما در طولانی‌مدت، بتن‌های تحت عمل آوری حرارتی دچار کاهش مقاومت نسبتاً زیادی شده‌اند (شکل‌های ۸ تا ۱۰).

شکل ۹. روند کسب مقاومت فشاری بتن ۸۰ SF8 در شرایط استاندارد (R) و تحت رژیم هیدراسیون (C).

افزایش مقدار میکروسیلیس باعث کاهش بیشتر مقاومت درازمدت نمونه‌های هسته نسبت به استاندارد می‌شود. بهنحوی که این نسبت در سن ۹۱ روز برای بتن‌های حاوی ۵، ۸ و ۱۱ درصد میکروسیلیس به ترتیب حدود ۰/۸۹، ۰/۹۳ و ۰/۹۶ می‌شود.

جدول ۵. جذب آب بتن‌ها در شرایط استاندارد و TMCC.

جذب آب نهایی		جذب آب اولیه		بتن	
(۷ روزا)		(۳۰ دقیقه)			
C	R	C	R		
۲/۲	۱/۵۳	۰/۷۵	۰/۷۲	۸۰	
۱/۷۵	۱/۷۹	۰/۹۱	۱/۰۴	۸۰P۱۵	
۱/۴۵	۱/۵۴	۰/۷۵	۰/۸۵	۸۰P۳۰	
۱/۲۲	۱/۳۸	۰/۶۳	۰/۷۸	۸۰FA۱۵	
۱/۸	۱/۷۱	۰/۸۱	۰/۷۶	۸۰FA۲۵	
۱/۱۷	۱/۰۸	۰/۵۸	۰/۶۵	۸۰SF۵	
۱/۱	۱/۲۵	۰/۵۹	۰/۸	۸۰SF۸	
۱/۳۹	۱/۴۱	۰/۵۱	۰/۷۹	۸۰SF۱۱	



شکل ۱۱. آهنگ جذب آب بتن ۸۰ در شرایط استاندارد و TMCC.

۱.۲.۳. جذب آب بتن بدون افزودنی معدنی

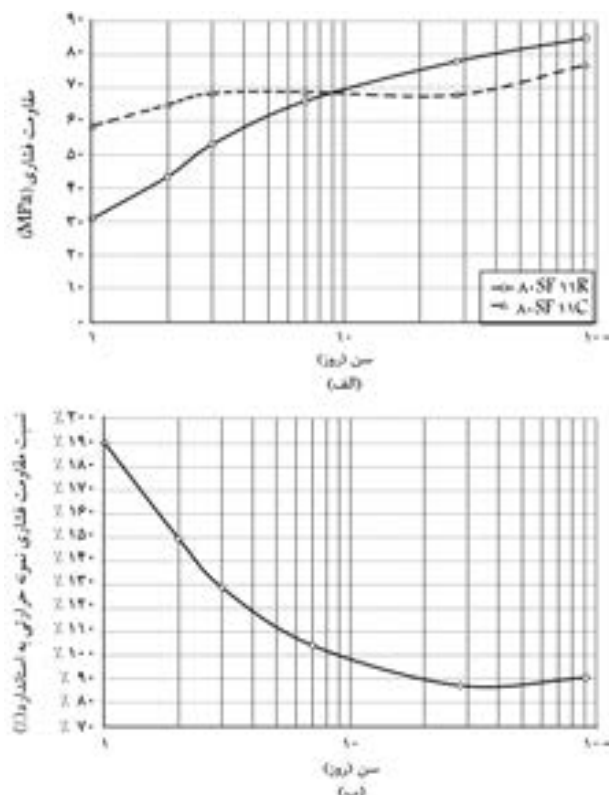
نتایج درصد جذب آب نمونه‌های شاهد در دو شرایط استاندارد و حرارتی در شکل ۱۱ نشان داده شده است. چنان که مشاهده می‌شود، میزان جذب آب در نمونه‌های حرارتی طی ۷ روز بیشتر از نمونه‌های استاندارد است. اختلاف درصد جذب آب در نیم‌ساعت و ۷ روز غوطه‌وری، به ترتیب ۹۶٪ و ۶۹٪ است. به عبارت دیگر در بتن ۸۰، نمونه‌های هسته‌ی ستون‌های حجمی نسبت به نمونه‌های استاندارد دارای تخلخل بیشتری هستند.

۲.۲.۳. جذب آب بتن‌های حاوی پوزولان طبیعی

صرف پوزولان طبیعی باعث کاهش اختلاف جذب آب در دو شرایط عمل آوری (نسبت به بتن شاهد) می‌شود. منحنی جذب آب نمونه‌های حاوی ۱۵٪ پوزولان طبیعی، در هر دو شرایط تقریباً بر هم متنطبق شوند. اما با افزایش مقدار صرف این ماده، جذب آب نمونه‌های عمل آوری شده در شرایط هسته در شرایط هسته کمتر از نمونه‌های عمل آوری شده در شرایط استاندارد خواهد بود (شکل ۱۲).

۳.۲.۳. جذب آب بتن‌های حاوی خاکستر بادی

جاگیری‌بینی ۱۵٪ وزن سیمان با خاکستر بادی باعث شده جذب آب نمونه‌های عمل آوری شده در شرایط هسته کمتر از نمونه‌های عمل آوری شده در شرایط استاندارد باشد. با افزایش مقدار صرف این ماده، تغییر خاصی در اختلاف جذب آب در



شکل ۱۰. روند کسب مقاومت نشاری بتن ۸۰SF ۱۱ در شرایط استاندارد (R) و تحت رژیم هیدراسیون (C).

و ۹٪ است. در توجیه افت نسبتاً زیاد مقاومت درازمدت نمونه‌های حاوی میکروسیلیس (با وجود تاریخچه‌ی دمای هیدراسیون یکسان) می‌توان گفت: مصرف میکروسیلیس تا مقداری محدود در بتن باعث تسريع فرایند هیدراسیون C۲S و A۲A می‌شود^[۱۲] و دمای زیاد عمل آوری نیز هیدراسیون بتن را سرعت می‌بخشد (این اثر در مقاومت نمونه‌های هسته در ۳ روز اول، کاملاً مشهود است). با توجه به موارد فوق، تسريع هیدراسیون در سینه بالاتر و توزیع غیریکنواخت محصولات هیدراسیون شود و در نهایت به کاهش مقاومت درازمدت این نمونه‌های بتنی پیشگامد.

۲.۳. جذب آب

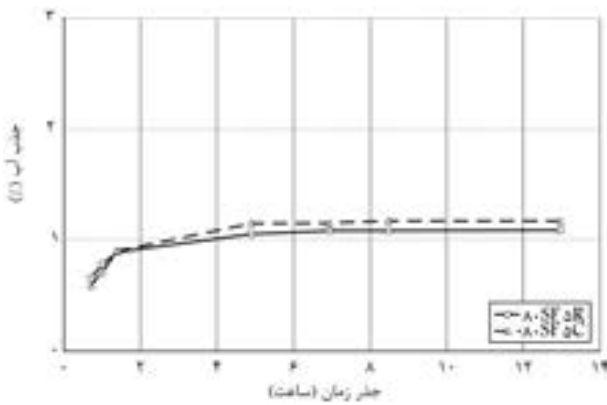
چنان که اشاره شد، عمل آوری بتن در دمای زیاد به توزیع غیریکنواخت محصولات هیدراسیون منجر می‌شود. به همین دلیل ممکن است بتن‌های عمل آوری شده در شرایط حرارتی (C) دارای ریزساختاری ضعیف‌تر و حفره‌هایی درشت‌تر در مقایسه با بتن‌های عمل آوری شده در شرایط استاندارد باشند. آزمایش جذب آب حجمی را می‌توان شاخص نسبتاً مناسبی برای بررسی ریزساختار بتن قلمداد کرد.

در تحقیق حاضر آزمایش جذب آب روی نمونه‌های بتنی انجام و نتایج آن در جدول ۵ ارائه شده است. نتایج جذب آب اولیه (نیم‌ساعتی) و جذب آب نهایی (۷ روزه) نیز در این جدول نشان داده شده است.

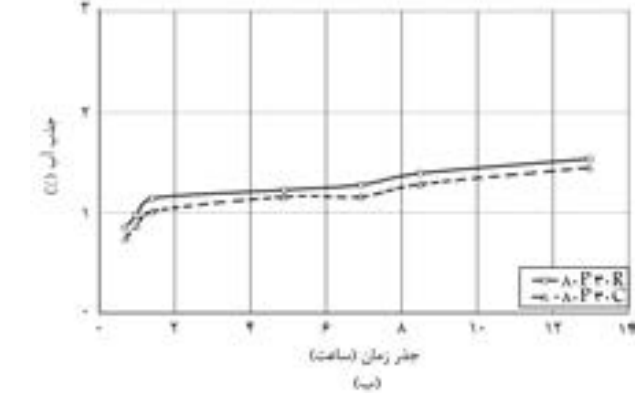
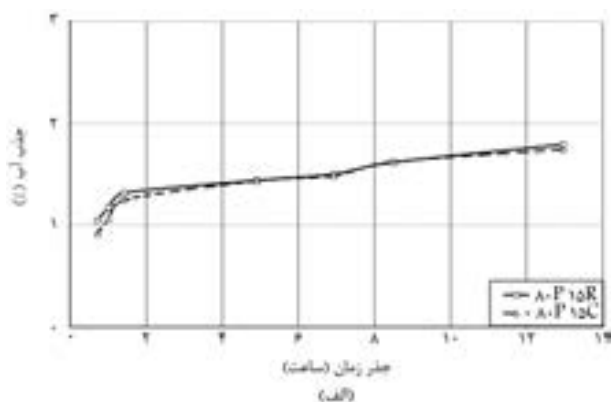
مقایسه با بتن ۸۰ FA ۱۵ صورت نمی‌گیرد (شکل ۱۳). درنتیجه می‌توان گفت که مصرف خاکستر بادی در ستون‌های حجیم با مقاومت زیاد باعث پرشدن سریع تر حفرات خالی بتن از محصولات هیدراسیون می‌شود. اما افزایش مقدار خاکستر بادی اثر محسوسی بر جذب آب ندارد.

۴.۲.۳. جذب آب بتن حاوی میکروسیلیس

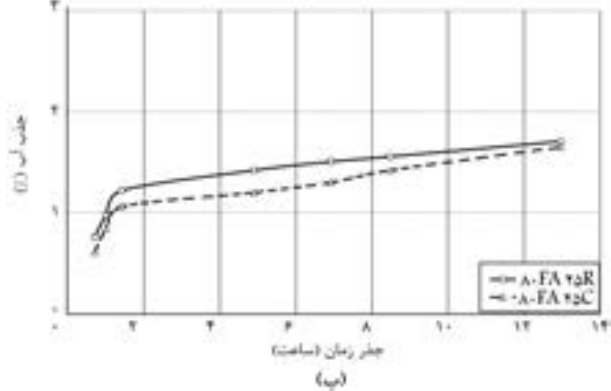
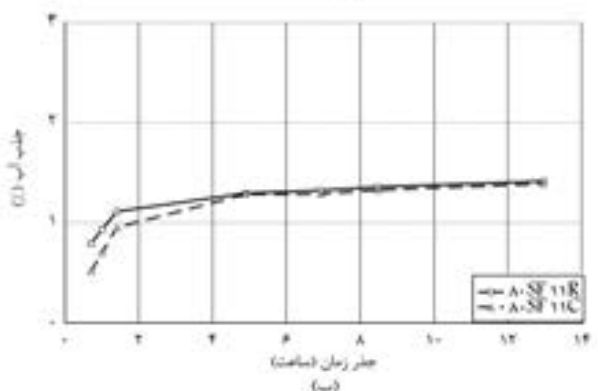
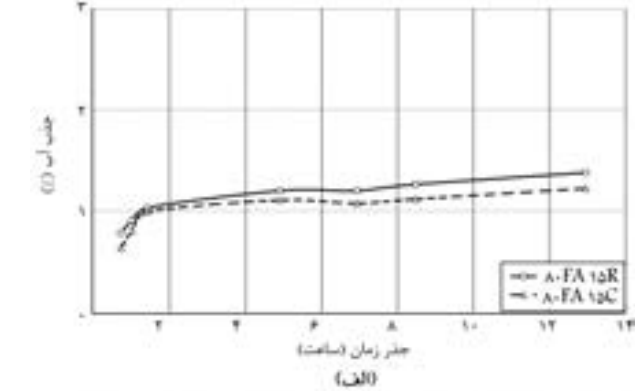
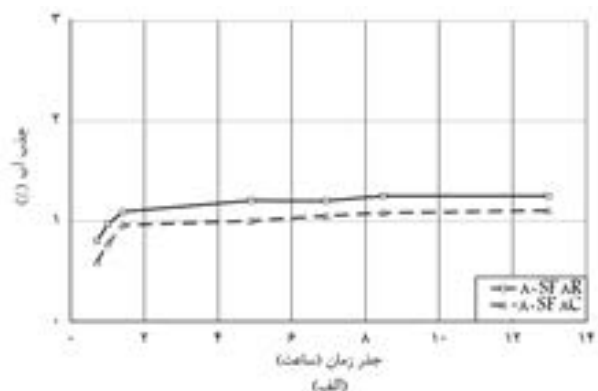
آهنگ جذب آب بتن‌های حاوی میکروسیلیس در شکل‌های ۱۴ و ۱۵ نشان داده شده است. بتن‌های حاوی این ماده نیز اثر پذیری کمی نسبت به عمل آوری در دمای بالا دارند. با جایگزینی ۵٪ میکروسیلیس از اختلاف جذب آب در دو شرایط عمل آوری کاسته می‌شود (در مقایسه با بتن شاهد). جایگزینی ۸٪ و ۱۱٪



شکل ۱۴. آهنگ جذب آب بتن حاوی ۵ درصد میکروسیلیس در شرایط استاندارد و TMCC



شکل ۱۲. آهنگ جذب آب بتن‌های حاوی پوزولان طبیعی در شرایط استاندارد و TMCC



شکل ۱۵. آهنگ جذب آب بتن‌های حاوی خاکستر بادی در شرایط استاندارد و TMCC

جایگزینی پوزولان طبیعی گرچه باعث افت مقاومت نمونه‌های هسته در ۲۸ روز به میزان حدود ۱۰٪ شده، در سن ۹۱ روز اختلاف بین مقاومت در دو شرایط عمل آوری کاهش یافته و به کمتر از ۴٪ می‌رسد. مصرف خاکستر بادی باعث کاهش اختلاف مقاومت نمونه‌های هسته به استاندارد در سن ۹۱ روز به کمتر از ۱٪ می‌شود.

با توجه به نتایج به دست آمده برای نمونه‌های حاوی پوزولان طبیعی و خاکستر بادی، این بتن‌ها می‌توانند از افزایش دمای مقاطع حجیم برای توسعه‌ی بیشتر مقاومت اولیه بهره ببرند. بنابراین مشکل مقاومت کم این بتن‌ها در سنین اولیه تا حدودی برطرف می‌شود.

جایگزینی میکروسیلیس در بتن باعث کسب مقاومت زیاد نمونه‌های هسته در سنین اولیه می‌شود. اما در طولانی‌مدت، باعث افت مقاومت نمونه‌های هسته نسبت به استاندارد از ۸٪ تا ۱۳٪ می‌شود (سن ۲۸ روز). روند افت مقاومت، با افزایش مقدار جایگزینی بیشتر شده، اما افزایش سن بتن (۹۱ روز) باعث کاهش اختلاف مقاومت بین ۲٪ تا ۱۰٪ می‌شود. نمونه‌های بتن شاهد که در شرایط حرارتی عمل آوری شده‌اند، در زمان‌های مختلف نسبت به نمونه‌های استاندارد جذب آب بیشتری دارند. بنابراین می‌توان گفت که نمونه‌های هسته‌ی مقاطع حجیم دارای تخلخل پیشتری نسبت به نمونه‌های استاندارد هستند.

جایگزینی انواع پوزولان‌ها (پوزولان طبیعی، خاکستر بادی و میکروسیلیس) در بتن باعث کاهش اختلاف بین جذب آب نمونه‌های حرارتی و استاندارد در سن ۲۸ روز شده است. این نتیجه حاکی از مؤثر بودن افزودن پوزولان برای کاهش حجم منافذ تا سen مشخص است.

از این ماده‌ی پوزولانی، باعث جذب آب کمتر نمونه‌های عمل آوری شده در هسته‌ی ستون‌های حجیم نسبت به نمونه‌های استاندارد می‌شود.

۴. نتیجه‌گیری

نمونه‌های مدل‌سازی‌شده از هسته‌ی ستون‌های حجیم در سنین اولیه کسب مقاومت بیشتری (حدود ۱/۲۵ تا ۲ برابر بیشتر) نسبت به نمونه‌های استاندارد دارند. اما روند کسب مقاومت نمونه‌های هسته نسبت به نمونه‌های روزا افزایش می‌باید، به‌طوری که مقاومت نمونه‌های هسته نسبت به نمونه‌های استاندارد کاهش می‌باید. از سن ۲۸ تا ۹۱ روز مجدداً روند کسب مقاومت نمونه‌های هسته افزایش یافته و باعث کاهش اختلاف مقاومت با نمونه‌های استاندارد می‌شود.

به نظر می‌رسد که عمل آوری حرارتی با رژیم دمایی اعمال شده در این تحقیق که دارای ویژگی هایی همچون زمان تأخیر اولیه‌ی مناسب، نرخ صعود و نزول دمایی کم و یک دمایی زیر ۶ درجه سانتی‌گراد است، برای مقاومت فشاری بتن‌های مختلف چندان زیان‌آور نیست و فقط باعث به تأخیر افتادن دسته‌بی از واکنش‌ها تا سن ۲۸ روز می‌شود. از آن پس با آغاز این واکنش‌ها شاهد تسریع روند کسب مقاومت نمونه‌های حرارتی هستیم. در نتیجه اساساً سن ۲۸ روز زمان مناسبی برای ارزیابی مقاومت فشاری بتن‌های حجیم نیست.

پانوشت

1. Saturated Surface Dry
2. temperature matched curing system (TMCS)

منابع

1. Ekolu, S.O., *Role of Heat Curing in Concrete Durability Effects of Lithium Salts and Chloride Ingress on Delayed Ettringite Formation*, The Degree of Doctor of Philosophy, Department of Civil Engineering, University of Toronto (2004).
2. Kjellsen, K.O. and Lagerblad, B. "Microstructure of tricalcium silicate and Portland cement systems at middle periods of hydration-development of Hadley grains", *Cement and Concrete Research*, **37**(1), pp. 13-20 (2006).
3. Yuan, R.L.; Ragab, M.; Hill, R.E. and Cook, J.E. "Evaluation of core strength in high strength concrete", *Concr Int.*, **13**(5), pp. 30-34 (May 1991).
4. Koibuchi, K.; Yamaguchi, H.; Kabota, K. and Ishikawa, Y. "Hydration and compressive strength development of high strength concrete heated to 60 or 80°C at the early age", *Proceedings of Cement and Concrete*, No. 45, Concrete Association of Japan, pp. 204-209 (1991).
5. Neville, A.M., *Properties of Concrete*, 4th Ed. Essex: Pearson Education, Limited (1995).
6. Kjellsen, K.O. and Detwiler, R.J. "Reaction kinetics of Portland cement mortars hydrated at different temperatures", *Cement and Concrete Research*, **22**, pp. 112-120 (1992).
7. Thomas, M.D.A., *Delayed Ettringite Formation in Concrete-Recent Developments and Future Directions*, Department of Civil Engineering, University of Toronto (August 1998).
8. Famy, C.; Scrivener, K.L.; Atkinson, A. and Brough, A.R.; "Effects of an early or late heat treatment on the microstructure and composition of inner C-S-H products of Portland cement mortars", *Cement and Concrete Research*, **32**(2), pp. 269-278 (2002).
9. Glasser, F.P.; Damidot, D. and Atkins, M. "Phase development in cement in relation to the secondary ettringite problem", *Advances in Cement Research*, **7**(26), pp. 57-68 (1995).
10. Heinz, D.; Ludwig, V. and Rudinger, I. "Delayed ettringite formation in heat-treated mortars and concretes" *Concrete Precasting Plant and Technology*, **11**, pp. 56-61 (1989).
11. BS 1881; Testing Concrete - Part 122; Method for Determination of Water Absorption.
12. Detwiler, R.J.; Bhatty, J.I. and Bhattacharja, S., *Supplementary Cementing Materials for Use in Blended Cements*, Portland Cement Association (1998).